

REVIEW ARTICLE

Multidrug-Resistant Virulence Genes in Isolates of *Pseudomonas aeruginosa* in Iranian Clinical Samples: A Review-Meta-Analysis

Negin Mesgar Saravi¹,
Tahoora Mousavi²

¹ MSc Student in Genetics, Molecular and Cell Biology Research Center, Hemoglobinopathy Institute, Mazandaran University of Medical Sciences, Sari, Iran

² Assistant Professor, Molecular and Cell Biology Research Center, Hemoglobinopathy Institute, Mazandaran University of Medical Sciences, Sari, Iran

(Received September 7, 2022 ; Accepted November 15, 2022)

Abstract

Background and purpose: *Pseudomonas* infections include urinary tract infections (UTIs), respiratory infections, soft tissue infections, dermatitis, bacteremia, gastrointestinal, bone and joint infections, and systemic types of infections, especially in hospitalized patients with severe burns, or patients with immunosuppression such as cancer or AIDS. Considering the importance of the virulence genes of *Pseudomonas aeruginosa* and the drug resistance that can be caused by this bacterium, the purpose of this study was to investigate the prevalence of multidrug-resistant virulence genes in isolates of *P. aeruginosa* in Iranian clinical samples.

Materials and methods: Using Scopus, ISI, Web of science, Pubmed, and Web of science databases, the following were used as keywords: *phzM*, *phzH*, *phzII*, *phzI*, *phzS*, *plcH*, *plcN*, *algD*, *algU*, *pilB*, and *pilA*. After limiting the search strategy and removing duplicates, the remaining articles were screened by examining the titles and abstracts. Finally, the heterogeneity index between studies was determined using Cochran's test (Q) and I². Based on this information, the fixed effect model was used to estimate the prevalence of *Pseudomonas* infection.

Results: In 26 studies included in the meta-analysis, the frequencies of *phzM*, *phzH*, *phzII*, *phzI*, *phzS*, *plcH*, *plcN*, *algD*, *algU*, *pilB*, and *pilA* genes based on random effect model were 39.6%, 38.5%, 57%, 53.1%, 41%, 77.8%, 58.3%, 61.6%, 74%, 25.5%, and 25.5%, respectively.

Conclusion: This study showed presence of genes encoding virulence factors (*phzM*, *phzH*, *phzII*, *phzI*, *phzS*, *plcH*, *plcN*, *algD*, *algU*, *pilB*, and *pilA*) in clinical strains of *P. aeruginosa*. In general, different types of virulence genes of this bacterium indicate that these genes are linked to severity of pathogenicity.

Keywords: virulence genes, drug resistance, *Pseudomonas aeruginosa*, clinical samples, meta-analysis

J Mazandaran Univ Med Sci 2022; 32 (215): 176-188 (Persian).

Corresponding Author: Tahoora Mousavi - Faculty of Medicine, Mazandaran University of Medical Sciences, Sari, Iran.
(E-mail: stm.jmums@gmail.com)

شیوع ژن های ویرولانس مقاوم به چند دارو در ایزوبله های جدا شده از سودوموناس آئروژینوزا در نمونه های بالینی ایرانی: مژوری - متا آنالیز

نگین مسگر ساروی^۱

طهورا موسوی^۲

چکیده

سابقه و هدف: عفونت سودوموناس شامل عفونت دستگاه ادراری (UTIs)، عفونت تنفسی، عفونت بافت نرم، درماتیت، باکتریمی، عفونت های گوارشی، استخوانی و مفصلی و انواع سیستمیک عفونت ها به ویژه در بیماران بستری شده در بیمارستان با سوختگی شدید، یا بیماران سرکوب شده سیستم ایمنی مبتلا به سلطان یا ایدز است. با توجه به اهمیت ژن های ویرولانس باکتری سودوموناس آئروژینوزا و همچنین مقاومت دارویی که می تواند توسط این باکتری صورت گیرد، این مطالعه با هدف بررسی شیوع ژن های ویرولانس مقاوم به چند دارو در ایزوبله های جدا شده از سودوموناس آئروژینوزا در نمونه های بالینی ایرانی، انجام پذیرفت.

مواد و روش ها: در این مطالعه مژوری، با استفاده از پایگاه های اطلاعاتی Pubmed، Scopus، ISI، Web of science، کلید واژه های مرتبط pilA، pilB، algU، algD، plcN، phzI، phzII، phzM، phzH، phzS، pilC، phzI، phzII، phzM، phzH مورد جستجو قرار گرفت. پس از محدود نمودن استراتژی جستجو و حذف موارد تکراری، مطالعات باقیمانده با بررسی عنوان و چکیده مورد غربالگری قرار گرفتند. در نهایت شاخص هتروژنیتی بین مطالعات با استفاده از آزمون کوکران (Q) و I² تعیین گردید. بر اساس نتایج هتروژنیتی از مدل اثر تصادفی برای برآورد شیوع عفونت استفاده گردید.

یافته ها: در 26 مطالعه وارد شده به متا آنالیز، فراوانی ژن های phzM، phzH، phzS، phzI، phzII، phzM، phzH، phzC، phzH، phzS، phzI، phzII، phzH، phzM، phzH، phzS، phzI، phzII، phzH، phzM، phzH، phzS، pilA، algU، algD، pilB، algU، algD و براساس مدل اثر تصادفی ترتیب 25/5، 74، 61/6، 58/3، 77/8، 41، 53/1، 57، 38/5، 39/6 در صد بوده است.

استنتاج: در مجموع، نتایج مطالعه حاضر نشان دهنده حضور انواع ژن های کد کننده فاکتور های ویرولانس phzM است. به طور کلی انواع مختلفی از ژن های ویرولانس این باکتری نشان دهنده این است که این ژن ها باشدت بیماری زایی ارتباط دارند.

واژه های کلیدی: ژن های ویرولانس، مقاومت دارویی، سودوموناس آئروژینوزا، نمونه های بالینی، متا آنالیز

مقدمه

باکتری سودوموناس آئروژینوزا (*P.aeruginosa*)، و پاتوژن فرصت طلب انسانی است که طیف وسیعی از عفونت های حاد و مزمن را شامل می شود. این یک باسیل کوچک گرم منفی، هوازی، غیر تخمیری

E-mail: stm.jmums@gmail.com

مؤلف مسئول: طهورا موسوی - ساری: جاده فرج آباد، مجتمع دانشگاهی پایه اعظم، دانشکده پزشکی

۱. دانشجوی کارشناسی ارشد ژنتیک، مرکز تحقیقات بیولوژی سلولی مولکولی، دانشگاه علوم پزشکی مازندران، ساری، ایران

۲. استاد بار، مرکز تحقیقات بیولوژی سلولی مولکولی، پژوهشکده هموگلوبینوپاتی، دانشگاه علوم پزشکی مازندران، ساری، ایران

۳. تاریخ دریافت: 1400/6/16 تاریخ ارجاع جهت اصلاحات: 1400/7/17 تاریخ تصویب: 1401/8/24

آمپی سیلین، تتراسایکلین، تیکارسیلین، کاربینی سیلین 90) درصد، سفتازیدیم (80 درصد)، کلاوونیک اسید (69/2) درصد، ایمی پنم (60 درصد)، سفپیم (52 درصد)، جنتامایسین (50 درصد) و سپروفلوکساسین (40 درصد) مقاوم بودند(5). عوامل بیماری زای P.aeruginosa را می توان به عفونت های حاد و مزمن طبقه بندی کرد. بیماری زایی سودوموناس تا حدودی به دلیل تولید یک سری فاکتورهای ویرولانس های خارج سلولی است که پس از کلونیزاسیون می تواند باعث آسیب بافت و هم چنین تهاجم به جریان خون و انتشار گردد. به طور کلی فاکتورهای بیماری زای سودوموناس شامل الزینات، فسفولیپاز، پیلی، و پیگمان ها می باشد که این فاکتورها مربوط به چسبندگی و سایر سوموم ترشح شده است(8.7.1). هم چنین اوپرون های فنازین I، phzH، phzII، phzM و phzS از جمله فاکتورهای ویرولانس های سودوموناس به حساب می آید که توسط این باکتری ترشح می شوند و در افزایش استرس اکسیداتیو داخل سلولی نقش دارد(1). از دیگر عوامل بیماری زایی سودوموناس فسفولیپیدهای PlcH و plcN (plcN) هستند، که در سورفکتانت های ریوی وجود دارند که در مرحله حاد بیماری مهم بوده و توسط دو فسفولیپاز C هیدرولیز می شوند. PlcH در دستگاه ادراری بالیز گلبول های سودوموناس کمک کند(6.9). پیلی و آژینات از دیگر عوامل بیماری زایی سودوموناس هستند. آژینات یک پلیمر خطی بدون انشعاب و یک کپسول اگزوپلی ساکارید است که توسط ژن های algD و algU از مزرگذاری شده و نقش اساسی در بقای باکتری ها در برابر پاسخ ایمنی میزان و داروها دارد که می تواند سیستم ایمنی را در برابر عفونت ریوی فیروز سیستیک (CF) مختل کند و در فاز مزمن عفونت سودوموناس آنروژینوزا ضروری است(10.8). با توجه به اهمیت ژن های ویرولانس باکتری سودوموناس آنروژینوزا و هم چنین مقاومت دارویی که می تواند توسط این باکتری صورت گیرد، این مطالعه با

میکروارگانیسم در همه جا وجود دارد و در محیط های بیمارستانی زنده باقی می ماند(3-1). عفونت سودوموناس شامل عفونت دستگاه ادراری (UTIs)، عفونت تنفسی، عفونت بافت نرم، درماتیت، باکتریمی، عفونت های گوارشی، استخوانی و مفصلی و انواع سیستمیک عفونت ها به ویژه در بیماران بستری شده در بیمارستان با سوتختگی شدید، یا بیماران سرکوب شده سیستم ایمنی مبتلا به سرطان یا ایدز است(4.1). این باکتری مسئول 9 درصد عفونت های ادراری در کودکان و 77/8 و 22/2 درصد عفونت های شدید دستگاه ادراری در پسران و دختران زیر 12 سال است(5). به طور کلی سودوموناس میزان مرگ و میر بالایی دارد که این میزان عفونت بیمارستانی بین 18 تا 61 درصد گزارش شده است(1). هم چنین این باکتری عامل حدود 35 درصد از عفونت های دستگاه ادراری به ویژه در بیماران مبتلا به عفونت های دستگاه ادراری مرتبط با کاتتر (CAUTI) است و چهارمین پاتوژن شایع جدا شده در عفونت های محل جراحی (8 درصد) و هفتمین علت اصلی عفونت های خونی (6-2 درصد) می باشد(6). این باکتری به شدت در برابر مواد ضد میکروبی و آنتی بیوتیک های مختلف مقاوم است می کند که به دلیل نفوذ پذیری کم غشای خارجی، و هم چنین تولید آنزیم های غیرفعال کننده آنتی بیوتیک (مانند سفالوسپوریناتها)، مقاومت ذاتی به چندین آنتی بیوتیک نشان می دهد(6). ظهور سودوموناس مقاوم به چند دارو (MDR) به یک مشکل جدی در محیط های مراقبت های بهداشتی در کشورهای در حال توسعه تبدیل شده است. اگر چه برخی از گونه های سودوموناس به جنتامایسین، توبرامایسین، کولیسین، سپروفلوکساسین، نورفلوکساسین و آمیکاسین پاسخ می دهند، اما عموماً نسبت به آنتی بیوتیک های رایج مقاوم تر هستند و این مقاومت چند دارویی گاهی غیر قابل درمان است(7.6.3.1). علاوه بر این، مطالعات نشان داد که سویه های جدا شده سودوموناس آنروژینوزا از نمونه های بیماران ایرانی به میزان 100 درصد در برابر تری متواپریم، آموکسی سیلین،

معیارهای ورود به مطالعه

بر اساس (PICO(S)، همه مطالعات مقطعی که به بررسی شیوع ژن‌های phzI، phzII، phzM، phzH، algU، algD، plcN، plcH، pilB، pilA پرداخته شده بود، بیماران مبتلا به زخم، خون، ادرار، خلط، آبse، بیوپسی، مایع مغزی نخاعی، ترشح ریوی، مایع سینوویال و که نمونه سودوموناس از آن‌ها جداسازی گردید و شیوع انواع ژن‌های phzII، phzH، phzM، pilA، pilB، algU، algD، plcN، plcH، phzS، phzI نمونه‌های بالینی مطالعات توصیفی، وارد مطالعه شدند.

معیارهای خروج مطالعه

معیارهای خروج از مطالعه در این بررسی شامل، آن دسته از مطالعاتی که بر اساس چک لیست ارزیابی کیفیت، نمره پایین‌تر از حد نصاب را کسب نمودند (بیشترین امتیاز 7-8، امتیاز رضایت بخش 5-6، کمترین امتیاز 4-0)، مطالعات ارائه شده در کنگره‌ها که فاقد متن کامل بودند، مطالعاتی که در آن‌ها بررسی شیوع ژن‌ها به جز ژن‌های مورد نظر بوده است، مطالعاتی که به زبان غیر انگلیسی بود، مطالعاتی که فاقد اطلاعات کافی بودند و مطالعات گزارش موردنمود، مروری و نامه به سردبیر، می‌باشد.

انتخاب مطالعات

در این بررسی، متن کامل یا خلاصه مقالات و مستندات و گزارش‌ها توسط دو محقق (T.M، N.M) به صورت مجزا استخراج گردید. در صورت اختلاف نظر از دانش شخص سوم و با تجربه در این زمینه استفاده شد. ابتدا عناوین مقالات، چکیده مقالات با استفاده از معیارهای ورود و خروج موردن بررسی قرار گرفته و سپس با استفاده از نرم‌افزار اندنوتن موارد تکراری حذف گردید و مقالات مرتبط انتخاب شد. ضمناً بررسی یافته‌ها برای شناسایی و حذف مطالعات تکراری به صورت عرضی هم در دستور کار محققین بوده است.

هدف بررسی شیوع ژن‌های ویرولانس مقاوم به چند دارو در ایزوله‌های جدا شده از سودوموناس آئروژنوزا در نمونه‌های بالینی ایرانی، انجام پذیرفت.

مواد و روش‌ها

در این مطالعه مروری، جهت انجام مطالعه متآنانالیز حاضر طبق پروتکل‌های متآنانالیز مطالعات مشاهده‌ای از چک لیست PRISMA-P استفاده گردید(11). استراتژی جستجو در این مطالعه، از مطالعات انتشار یافته از دسامبر 2000 الی نوامبر 2022 از مطالعات چاپ شده در مجلات خارجی و از پایگاه‌های اطلاعاتی نظر direct Google scholar، Scopus، ISI، Pub med استفاده شد. استراتژی جست و جوی مقالات با استفاده از کلید واژه‌های انگلیسی و هم‌چنین ترکیب کلمات مهم و اصلی و حساس انجام شد. جست‌وجو با استفاده از Web of science، ISI، Scopus، Pubmed کلید واژه‌های مرتبط phzM، Web of science، Pubmed، algU، algD، plcN، plcH، phzI، phzII، phzH، pilA، pilB and or در عنوان و چکیده انجام شد. از طرفی جهت افزایش حساسیت جستجو رفرنس مطالعات مرتبط هم مورد بررسی قرار گرفت.

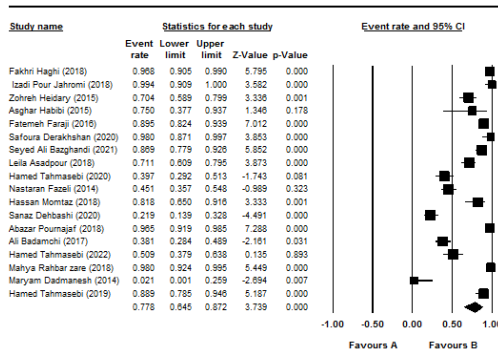
انتخاب مطالعات

تمام متون کامل و چکیده مطالعات، از پایگاه‌های موردنظر خارج گردیده و مورد بررسی قرار گرفتند. ابتدا پس از محدود کردن جستجو، مطالعات غیرمرتبط و تکراری حذف شدند. سپس مطالعات پس از بررسی عناوین، چکیده‌ها و متون کامل غربالگری شدند. نهایتاً مطالعات مناسب در مطالعه متآنانالیز مورد نظر گنجانده شدند. این مطالعه با هدف تخمین شیوع ژن‌های ویرولانس مقاوم به چند دارو در ایزوله‌های جدا شده از سودوموناس آئروژنوزا در نمونه‌های بالینی ایرانی انجام شد.

ارزیابی کیفیت

در جستجوی اولیه پایگاه های اطلاعاتی، 414 مطالعه یافت شد. ابتدا با افزایش ویژگی جستجو 309 مطالعه پس از محدود سازی اولیه حذف شدند. پس از محدود نمودن مطالعات، 69 مطالعه به دلیل تکراری بودن در پایگاه های اطلاعاتی از مطالعه خارج شدند. 36 مطالعه مرتبط با موضوع یافت شد که واجد شرایط جهت متانالیز بودند. در نهایت 10 مطالعه به دلیل مرتبط نبودن با موضوع پژوهش و پس از ارزیابی عنوانین و خلاصه مطالعات از مطالعه خارج شدند. در پایان 26 مطالعه جهت تحلیل و آنالیز وارد این مطالعه شدند (فلوچارت شماره ۱). در این متانالیز شیوع ژن های ویرولانس شماره ۱. در این متانالیز داده های جدا شده از مقاوم به چند دارو در ایزوپله های جدا شده از سودوموناس آئروژنیوزا در نمونه های بالینی ایرانی مورد بررسی قرار گرفت (جدول شماره ۱). تمامی مطالعات از نوع مطالعات مقطعی بوده است.

در بررسی مطالعات فراوانی ژن plcH در بین مطالعات اولیه از ۰ درصد در مطالعه Dadmanesh *et al.* درصد در مطالعه Izadi Pour Jahromi متغیر بوده است (۱۶.۵%). ضمناً با توجه به وجود هتروژنیتی در مطالعات انجام شده $P=0/00$, $Q: 277/37$, $I^2: 93/87\%$ از مدل اثر تصادفی جهت برآورد کلی استفاده شد که میزان آن با فاصله اطمینان ۹۵ درصد برابر ($64/5-87/2$) $77/8$ درصد بوده است (تصویر شماره ۱).



تصویر شماره ۱: نمودار انباشت (Plot Forest) فراوانی ژن plcH

در این بررسی به منظور ارزیابی کیفیت مطالعات از چک لیست (Newcastle Ottawa Scale) استفاده گردید که شامل ۷ سوال بود که نوع مطالعه، حجم نمونه، اهداف مطالعه، جمعیت مورد مطالعه، روش مناسب و ارائه نتایج براساس اهداف را پوشش می دهد. در این چک لیست تعداد امتیاز ۱۰ ارائه گردید که به سه دسته، مطالعات خوب (8-7)، مطالعات رضایت بخش (6-5)، مطالعات غیر قابل رضایت (4-0)، تقسیم گردید. چنانچه مطالعه ای حداقل امتیاز (5-8) را کسب نموده بود، وارد این مطالعه گردید (12).

استخراج داده ها

داده های مطالعات اولیه براساس بررسی و مطالعه عنوانین مطالعه، نام مولف و یا مولفین، سال انتشار، نام شهر، منبع عفونت، و ژن های مورد بررسی استخراج گردید. لازم به ذکر است که نرم افزار مورد استفاده جهت ورود داده های مطالعات اولیه، اکسل بوده است.

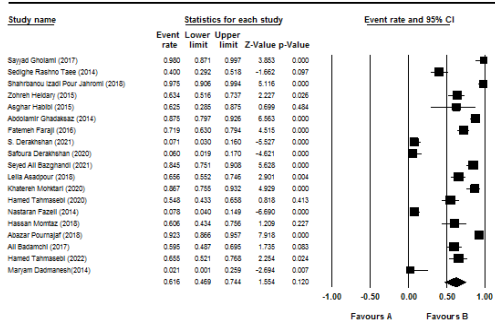
آنالیز آماری

برای آنالیز داده ها از نرم افزار CMA و برای تعیین هتروژنیتی بین مطالعات از آزمون کوکران (Q) و I² استفاده گردید. بر اساس نتایج هتروژنیتی از مدل اثر تصادفی استفاده گردید و برآورد نقطه ای شیوع عفونت با فاصله اطمینان ۹۵ درصد در نمودار انباشت (forest plots) محاسبه شدند که در این نمودار اندازه مربع نشان دهنده وزن هر مطالعه و خطوط دو طرف آن فاصله اطمینان ۹۵ درصد را نشان می دهد. هم چنین در این مطالعه جهت بررسی publication bias از آزمون Egger تست استفاده شد و نمودار قیفی با سطح معنی داری کمتر از 0/1 برای ارزیابی سوگیری انتشار استفاده شد.

جدول شماره ۱: مطالعات وارد شده در رابطه با زن‌های ویرولاپس مقاوم به چند دارو در ایزوله‌های جدا شده از سودوموناس آنروزینوza در نمونه‌های بالیی ایرانی

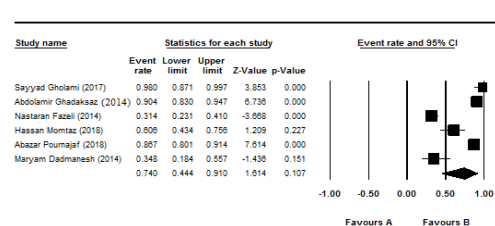
رقم	نویسنده / مؤلف	موقعیت	Isolate	معنی جنازه‌ای نمونه	Number of isolates	pIeH (درصد)	pIgD (درصد)	AlgU (درصد)	pIbN (درصد)	pIaA (درصد)	pIbM (درصد)	pIzH (درصد)	pIzL (درصد)	pIzS (درصد)
(13)	Sayyad Gholami (13)/(2017)	Shiraz	Paeruginosa	ادوار، سونخگی و غفتنت	50	-	-	-	-	49	49	(98)	(98)	-
(7)	Fakhri Haghchi (7)/(2018)	Zanjan	Paeruginosa	غفتنت زخم سونخگی	93	43	90	(46.2)	(96.8)	-	-	-	-	26
(14)	Sedighe Rashno Taei (14)/(2014)	Khoramabad	Paeruginosa	زنم، خون، ادرار، خلط، آسم، پوپس، مایع مغزی نخاعی، ترشیت روزی، مایع سیروز	70	-	-	-	-	-	28	(40)	-	
(15)	Hosein Sharifi (15)/(2019)	Shiraz, Kerman	Paeruginosa	مریقت‌های تنفسی، بخش‌های عمومی پریستیک و جراحتی، اوراکس و سونخگی سیروز	208	-	-	-	-	-	17	(8/17)	-	
(16)	Pour Jahromi (16)/(2018)	hiraz and Yasuj	Paeruginosa	سوخنگی پریستیک طاطبی، عمومی، اطفال ایزوادان، چراشی، وبخش زنن ادرار	80	80	78	(97/5)	(100)	-	-	-	-	-
(17)	Zohreh Heidary (17)/(2016)	Tehran	P. aeruginosa	زنم، خون، ادرار	71	50	45	(63/3)	(70/4)	-	-	52	(73/2)	-
(18)	Asghar Habibi (18)/(2015)	Birjand	P. aeruginosa	غفتنت مجاور ادراری	8	6	5	(62/5)	(75)	-	-	6	(75)	-
(19)	Abdolamir Ghadaksa (19)/(2015)	Tehran	P. aeruginosa	ادوار، مجاور تنفسی، زنم، پلورال قیوژن (ترالوش چنی)، گوش، خون، مشتمل شدن بر پوشش (تایزه)، نای، BAL، خلط، لوله قفسه سینه، استخوان، حلق (CF) (بیست‌که فیروزیس)، زخم سونخگی، خلط، سواب دهان و حلق، مشتمل شدن بر پوشش (BAL)	104	-	-	-	-	-	82	(71/9)	(65/7)	
(2)	Fatemeh Faraji (2)/(2016)	Tehran	P. aeruginosa	زنم، سونخگی، خلط و مایع دهان و حلق، مشتمل شدن بر پوشش (BAL)	114	102	75	(98/4)	(98/4)	-	-	-	-	-
(20)	S. Derakhshan (20)/(2021)	Kurdistan	P. aeruginosa	نمونه‌های مختلف بیماران	70	-	-	-	-	-	5	(7/14)	-	
(9)	Safoura Derakhshan (9)/(2020)	Kurdistan	P. aeruginosa	غفتنت مجاور ادراری	50	49	3	(6)	(98)	-	-	-	-	-
(10)	Seyed Ali Bazghandi (10)/(2021)	Ardabil	P. aeruginosa	زنم، خون، ادرار، خلط و مایع (CSF) (مغزی نخاعی)	84	73	71	(84/5)	(86/9)	(86/9)	28	(33/3)	-	
(4)	Leila Asadpour (4)/(2018)	Rasht	P. aeruginosa	زنم‌های سونخگی	90	64	48	(65/5)	(53/3)	(71/1)	-	-	-	-
(21)	Khaterreh Mohktari (21)/(2020)	Saveh	P. aeruginosa	نمونه‌های سونخگی	60	-	52	(86/6)	-	-	-	-	-	-
(22)	Hamed Tahmaebi (22)/(2020)	Hamadan	P. aeruginosa	نمونه‌های سونخگی	73	-	41	(54/7)	(49/3)	(39/7)	29	(39/7)	-	-
(1)	Nastaran Fazeli (1)/(2014)	Tehran	P. aeruginosa	زنم، مجاور تنفسی و ادراری، زخم سیتو و سونخگی	102	46	34	(37/3)	(31/4)	(7/8)	18	(36/3)	21	13
(3)	Hassan Montaz (3)/(2018)	Shahrood	P. aeruginosa	زنم، ها، غونون های تنفسی، غفتنت‌های مسکن‌های ادراری، زخم سیتو و سونخگی	33	27	25	(60/6)	(60/6)	(75/7)	15	(51/5)	17	13
(23)	Sanaz Dehbashi (23)/(2020)	Hamadan	P. aeruginosa	زنم سونخگی، کشت خون کاترها و UIC (کشت ادرار)	73	16	-	(21/9)	-	-	23	(31/5)	-	21
(8)	Abazar Pournajaf (8)/(2018)	"Tehran, Mazandaran, Fars, Razavi Khorasan, Yazd, Hormozgan, West Azerbaijan, and Lorestan	P. aeruginosa	نمونه خط پیماران CF	143	138	47	(32/8)	(96/5)	(92/3)	124	(86/7)	101	92
(6)	Ali Badamchi (6)/(2017)	Tehran	P. Aeruginosa	نمونه‌های ادرار	84	32	50	(59/5)	(38/1)	(38/1)	-	-	-	-
(24)	Hamed Tahmasebi (24)/(2022)	Hamadan	P. aeruginosa	غفتنت زنم	55	28	37	(65/4)	(67/2)	(50/9)	-	-	-	32
(25)	Mahya Rahbar zare (25)/(2018)	Tehran	P. Aeruginosa	زنم‌های سونخگی	100	98	98	(98)	(98)	(98)	-	-	-	98
(5)	Maryam Dadmanesh (5)/(2014)	Tehran	P. Aeruginosa	مجاری ادراری	23	0	5	(0)	(21/7)	(0)	1	(4/3)	10	3
(26)	Hamed Tahmasebi (26)/(2019)	Hamadan	P. aeruginosa	زنم‌های سونخگی	63	56	41	(88/8)	(65/1)	-	-	-	-	53
(27)	Sayyad Gholami (27)/(2019)	Total	P. aeruginosa	مانع انسانی	100	-	-	-	-	-	8	(16)	198	165
166	278	275	193	97	165	327	854	594	984	2001				

در مطالعه Sayyad Gholami متغیر بوده است(13.5). ضمناً با توجه به وجود هتروژنیتی در مطالعات انجام شده از مدل اثر تصادفی جهت برآورده کلی استفاده شد که میزان آن با فاصله اطمینان 95 درصد برابر (46/9-74) درصد بوده است (تصویر شماره 3).



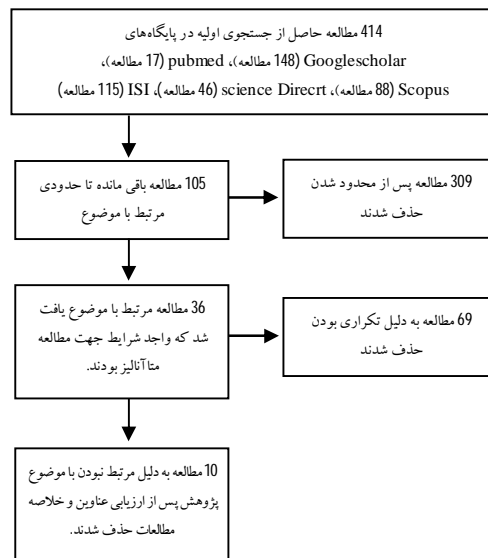
تصویر شماره 3: نمودار انباشت (Plot Forest) فراوانی ژن AlgD

در بررسی مطالعات فراوانی ژن AlgU در بین مطالعات اولیه از 31/4 درصد در مطالعه Nastaran Fazeli متغیر بوده الى 98 درصد در مطالعه Sayyad Gholami متغیر بوده است(13.1). ضمناً با توجه به وجود هتروژنیتی در 12: 95/52 % Q: 111/84, P= 0/00 مطالعات انجام شده از مدل اثر تصادفی جهت برآورده کلی استفاده شد که میزان آن با فاصله اطمینان 95 درصد برابر (44/4-91) 74 درصد بوده است (تصویر شماره 4).



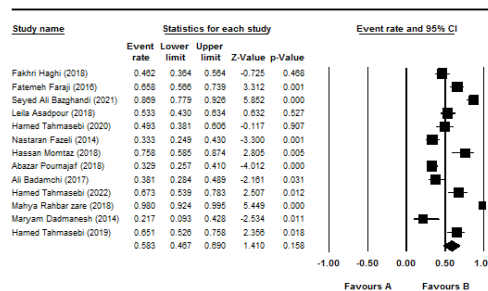
تصویر شماره 4: نمودار انباشت (Plot Forest) فراوانی ژن AlgU

در بررسی مطالعات فراوانی ژن PhzM در بین مطالعات اولیه از 16 درصد در مطالعه Sayyad Gholami الى



فلوچارت شماره 1: فلوچارت بررسی و جستجوی مطالعات وارد شده در متأالیز

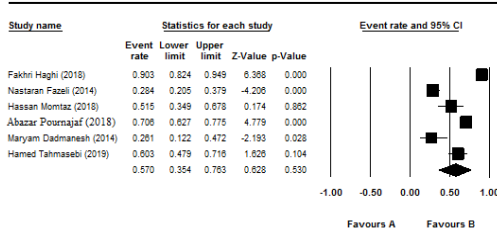
در بررسی مطالعات فراوانی ژن plcN در بین مطالعات اولیه از 21/7 درصد در مطالعه Dadmanesh الى 98 درصد در مطالعه Mahya Rahbar zare متغیر بوده است(25.5). ضمناً با توجه به وجود هتروژنیتی در 12: 90/96 % Q: 132/79, P= 0/00 مطالعات انجام شده از مدل اثر تصادفی جهت برآورده شد که میزان آن با فاصله اطمینان 95 درصد برابر (46/7-69) 58/3 درصد بوده است (تصویر شماره 2).



تصویر شماره 2: نمودار انباشت (Plot Forest) فراوانی ژن plcN

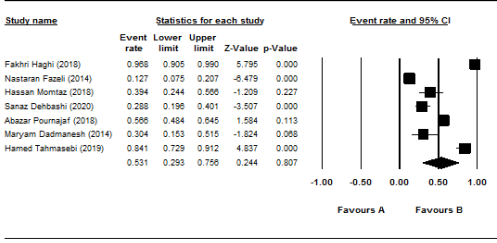
در بررسی مطالعات فراوانی ژن AlgD در بین Mطالعات اولیه از 0 درصد در مطالعه Dadmanesh الى 98

$I^2: 93/74\% Q: 79/98, P=0/00$ مطالعات انجام شده از مدل اثر تصادفی جهت برآورد کلی استفاده شد که میزان آن با فاصله اطمینان 95 درصد برابر (35/4-76/3) 57 درصد بوده است (تصویر شماره 7).



تصویر شماره 7: نمودار انباشت (Plot Forest) فراوانی ژن Phz11

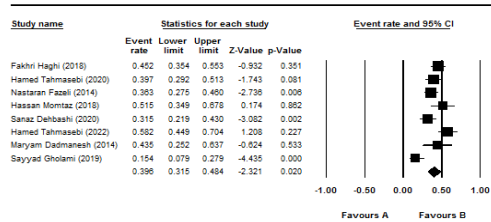
در بررسی مطالعات فراوانی ژن Phz1 در بین مطالعات اولیه از 12/7 درصد در مطالعه Nastaran Fazeli الى 96/7 درصد در مطالعه Fakhri Haghi متغیر بوده است (7,1). ضمناً با توجه به وجود هتروژنیستی در مطالعات انجام شده $I^2: 94/89\% Q: 117/49, P=0/00$ مطالعات انجام شده از مدل اثر تصادفی جهت برآورد کلی استفاده شد که میزان آن با فاصله اطمینان 95 درصد برابر (29/3-75/8) 53/1 درصد بوده است (تصویر شماره 8).



تصویر شماره 8: نمودار انباشت (Plot Forest) فراوانی ژن Phz1

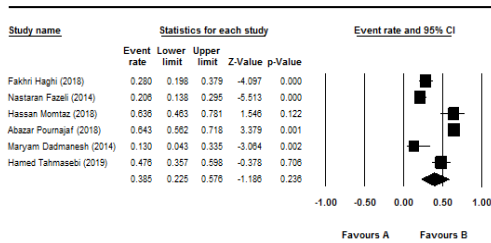
در بررسی مطالعات فراوانی ژن PhzS در بین مطالعات اولیه از 19/6 درصد در مطالعه Nastaran Fazeli الى 64/3 درصد در مطالعه AbazarPournajaf متغیر بوده است (8,1). ضمناً با توجه به وجود هتروژنیستی در مطالعات انجام شده $I^2: 92/70\% Q: 54/85, P=0/00$ مطالعات انجام شده از مدل اثر تصادفی جهت برآورد کلی استفاده شد که

درصد در مطالعه Hamed Tahmasebi متغیر بوده است (24,13). ضمناً با توجه به وجود هتروژنیستی در $I^2: 71/26\% Q: 24/36, P=0/00$ مطالعات انجام شده از مدل اثر تصادفی جهت برآورد کلی استفاده شد که میزان آن با فاصله اطمینان 95 درصد برابر (31/5-48/4) 39/6 درصد بوده است (تصویر شماره 5).



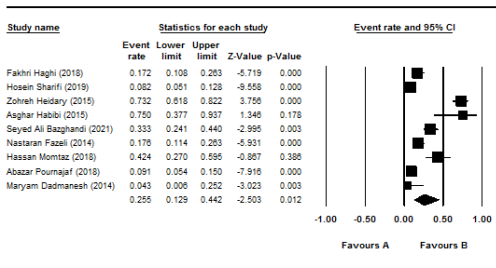
تصویر شماره 5: نمودار انباشت (Plot Forest) فراوانی ژن Phzm

در بررسی مطالعات فراوانی ژن PhzH در بین مطالعات اولیه از 13/04 درصد در مطالعه Maryam Dadmanesh الى 64/3 درصد در مطالعه Abazar Pournajaf متغیر بوده است (8,5). ضمناً با توجه به وجود هتروژنیستی در $I^2: 92/29\% Q: 64/87, P=0/00$ مطالعات انجام شده از مدل اثر تصادفی جهت برآورد کلی استفاده شد که میزان آن با فاصله اطمینان 95 درصد برابر (22/5-57/6) 38/5 درصد بوده است (تصویر شماره 6).



تصویر شماره 6: نمودار انباشت (Plot Forest) فراوانی ژن PhzH

در بررسی مطالعات فراوانی ژن phzII در بین مطالعات اولیه از 26/1 درصد در مطالعه Maryam Dadmanesh الى 90/32 درصد در مطالعه Fakhri Haghi متغیر بوده است (7,5). ضمناً با توجه به وجود هتروژنیستی در



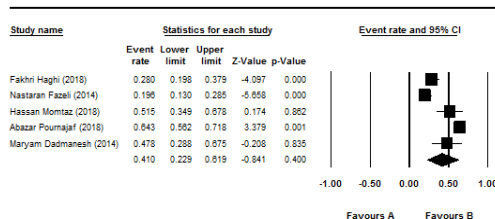
تصویر شماره 11: نمودار انباشت (Plot Forest) فراوانی ژن PiliB

هم چنین نتایج publication bias با استفاده از Egger test نشان می دهد که در بین publication bias ساب گروهها وجود دارد ($P < 0/05$).

بحث

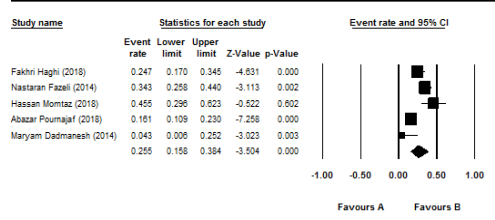
در مطالعه حاضر شیوع ژن های ویرولانس مقاوم به دارو سودوموناس آئرورژینوزا phzII، phzM، phzI در pilA و pilB و algU، algD، plcN، plcH، phzS، phzL نمونه های بالینی ایرانی مورد بررسی قرار گرفته است. به طور کلی سودوموناس آئرورژینوزا یک باسیل کوچک گرم منفی، هوازی، غیر تخمیری و یک پاتوژن فرصت طلب انسانی است که طیف وسیعی از عفونت های حاد و مزمن را شامل می شود. این میکرووارگانیسم در همه جا وجود دارد و در محیط های بیمارستانی زنده می ماند. سودوموناس میزان مرگ و میر بالایی دارد و به دلیل نفوذ پذیری کم غشای خارجی، بیان سازنده پمپ های جریان مختلف و تولید آنزیم های غیرفعال کننده آنتی بیوتیکی (مانند سفالوسپورینازها)، مقاومت ذاتی دربرابر چندین آنتی بیوتیک از خود نشان می دهد. این باکتری به شدت در برای مواد ضد میکروبی و آنتی بیوتیک های مختلف مقاومت می کند، به طور کلی ظهور سودوموناس مقاوم به چند دارو (MDR) به یک مشکل جدی در محیط های مراقبت های بهداشتی در کشورهای در حال توسعه تبدیل شده است (1-3). مطالعه حقی و همکاران که روی 93 ایزو ل سودوموناس آئرورژینوزا جدا شده از عفونت های زخم سوختگی را برای حساسیت ضد میکروبی و توزیع

میزان آن با فاصله اطمینان 95 درصد برابر (22/9-61/9) 41 درصد بوده است (تصویر شماره 9).



تصویر شماره 9: نمودار انباشت (Plot Forest) فراوانی ژن PhzS

در بررسی مطالعات فراوانی ژن PiliA در بین مطالعات اولیه از 4/3 درصد در مطالعه Maryam Dadmanesh میگیری 45/4 درصد در مطالعه Hassan Momtaz متغیر بوده است (5/3). ضمناً با توجه به وجود هتروژنیتی در مطالعات انجام شده $I^2 = 80/82\%$ ، $P = 0/00$ ، $Q = 20/85$ از مدل اثر تصادفی جهت برآورد کلی استفاده شد که میزان آن با فاصله اطمینان 95 درصد برابر (15/8-38/4) 25 درصد بوده است (تصویر شماره 10).



تصویر شماره 10: نمودار انباشت (Plot Forest) فراوانی ژن PiliA

در بررسی مطالعات فراوانی ژن PiliB در بین مطالعات اولیه از 4/3 درصد در مطالعه Maryam Dadmanesh میگیری 75 درصد در مطالعه Asghar Habibi متغیر بوده است (18/5). ضمناً با توجه به وجود هتروژنیتی در مطالعات انجام شده $I^2 = 98/89\%$ ، $P = 0/00$ ، $Q = 130/97$ از مدل اثر تصادفی جهت برآورد کلی استفاده شد که میزان آن با فاصله اطمینان 95 درصد برابر (12/9-44/2) 25 درصد بوده است (تصویر شماره 11).

مطالعه دامنه و همکاران، هشت نمونه از 90 نمونه ادرار مرد (8/88 درصد) و 15 نمونه از 130 نمونه ادرار زنانه (11/53 درصد) سودوموناس آئروژینوزا مثبت گزارش شد. بالاترین سطوح مقاومت آنتی بیوتیکی سویه های سودوموناس آئروژینوزا در مورد آمپی سیلین (52/17 درصد)، جنتامايسین (39/13 درصد)، سپروفلوکساسین (47/82 درصد)، سپروفلوکساسین (34/78 درصد) مشاهده شد، در حالی که مقاومت در برابر پیپراسیلین و ایمی پنم به ترتیب 4/34 درصد و 17/39 درصد مشاهده شد. همچنین exoS شایع ترین فاکتورهای ویرولانس شناسایی شده 65/21 (exoT 73/91 درصد)، toxA 69/56 (درصد)، phzM 43/47 (درصد) و phzM (5) درصد) گزارش گردید.

از محدودیت های مطالعه می توان به کم بودن تعداد نمونه های بالینی جدا شده از ادرار، سوختگی و عفونت های تنفسی اشاره کرد که می تواند نتایج را تحت تاثیر قرار دهد. با این حال، در کنار این محدودیت این مطالعه نتایجی در برداشت، که در این بررسی حضور انواع ژن های کد کننده فاکتورهای ویرولانس در سویه های بالینی سودوموناس آئروژینوزا و نقش مهم ژن های plcN، plcH، phzS، phzI، phzII، phzM، algU، algD، pilB، algL و مقاومت به چند دارویی سودوموناس آئروژینوزا در نمونه های بالینی ایرانی مورد ارزیابی قرار گرفت که این ژن ها ارتباط زیادی با مقاومت آنتی بیوتیکی درین سویه های این باکتری دارد. محدودیت بعدی می تواند به جداسازی سویه ها از نمونه های مختلف بالینی باشد، به طوری که منع می تواند منجر به کسب ژن خاص و همچنین عفونت خاص گردد. این نتایج نشان دهنده خطر بالقوه این سویه ها در عفونت های بیمارستانی است که البته نیازمند مطالعات بیشتر با حجم نمونه بیشتر و همچنین بررسی جامع تر در سایر نقاط کشور برای رسیدن به یک نتیجه جامع تر می باشد.

سپاسگزاری

بدین وسیله از معاونت محترم تحقیقات و فناوری دانشگاه علوم پزشکی مازندران تشکر و قدردانی می گردد.

ژن های ویرولانس تجزیه و تحلیل کردن نشان دادند که تمامی جدایه ها (100 درصد) به یک یا چند عامل ضد میکروبی مقاوم بودند. بیش ترین مقاومت در برابر آمپی سیلین (91/4 درصد)، کوتربیوم کسازو (77/4 درصد)، جنتامايسین (68/8 درصد)، سفو تاکسیم (50/5 درصد)، آزترونام و پیپراسیلین (41/9 درصد) مشاهده شد. شایع ترین ژن ویرولانس (96/7 درصد) plcH (2/17 درصد) phzI و (90/3) phzII بود. فراوانی (27/9) phzS/phzH و pilA (24/7 درصد) درصد) کمتر از سایر ژن های ویرولانس بود. 29 ایزوله در مورد از 31/2 درصد) به طور همزمان دارای 8 ژن ویرولانس، 19 سویه (23/7 درصد) دارای 6 ژن ویرولانس و 22 سویه (4/20 درصد) دارای 7 ژن ویرولانس بودند (7).

در مطالعه فاضلی و همکاران، آنها به بررسی توزیع فاکتورهای بیماری زا و خواص مقاومت آنتی بیوتیکی سودوموناس آئروژینوزا جدا شده از انواع مختلف عفونت های بیمارستانی در ایران پرداختند. پنجاه و هشت مورد از 127 (45/66 درصد) نمونه عفونت مرد و 44 مورد از 90 (48/88 درصد) نمونه عفونت زن دارای سودوموناس آئروژینوزا بودند. همچنین 65 درصد (در نمونه های مرد) و 21 درصد (در نمونه های زن) عفونت های دستگاه تنفسی، سودوموناس آئروژینوزا مثبت گزارش گردید.

ژن کد کننده فسفولیپاز های C (45/09 درصد) شایع ترین ژن ویرولانس یافت شده در بین سویه ها بود. سطوح مقاومت بالا به پنی سیلین (100 درصد)، تتراسایکلین (90/19 درصد)، استرپتو مايسین (70/64 درصد) و اریترو مايسین (13/43 درصد) نیز مشاهده شد (1). در مطالعه انجام شده دیگر توسط پورنجف و همکاران، 8/4 درصد از سویه ها، MDR در نظر گرفته شدند که به ترتیب شیوع ژن های ویرولانس lasB (100 درصد) و plcB (100 درصد)، plcH (5/96 درصد) گزارش گردید.

اکثر ژن های کد کننده آژنینات به ترتیب 86/7، 92/3 و 67/1 درصد برای ژن های algD، algU و algL بودند.

ژن های ppeR، pslA و pelA به ترتیب در 6/98، 6/95 و 6/9 درصد از سویه ها شناسایی شدند (8). در

References

1. Fazeli N, Momtaz H. Virulence gene profiles of multidrug-resistant *Pseudomonas aeruginosa* isolated from Iranian hospital infections. *Iran Red Crescent Med J* 2014; 16(10): e15722.
2. Faraji F, Mahzounieh M, Ebrahimi A, Fallah F, Teymournejad O, Lajevardi B. Molecular detection of virulence genes in *Pseudomonas aeruginosa* isolated from children with Cystic Fibrosis and burn wounds in Iran. *Microb Pathog* 2016; 99: 1-4.
3. Momtaz H, Eskandari M, Zabihi F. Distribution of virulence factors in biofilm formation strains of *Pseudomonas aeruginosa* isolated from hospital infections in Shahrekord Township. *Navid No* 2018; 21(67): 30-40 (Persian).
4. Asadpour L. Antimicrobial resistance, biofilm-forming ability and virulence potential of *Pseudomonas aeruginosa* isolated from burn patients in northern Iran. *J Global Antimicrob Resist* 2018; 13: 214-220.
5. Dadmanesh M, Pilehvarzadeh M, Eramabadi M, Eramabadi P, Moghadam MB, Mashayekhi F. Community acquired *Pseudomonas aeruginosa* urinary tract infections in children hospitalized in a Baqiatallah hospital, Tehran, Iran: Virulence profile and antibiotic resistance properties. *Biosc Biotechnol Res Asia* 2014; 11(2): 417-426.
6. Badamchi A, Masoumi H, Javadinia S, Asgarian R, Tabatabaei A. Molecular detection of six virulence genes in *Pseudomonas aeruginosa* isolates detected in children with urinary tract infection. *Microb Pathog* 2017; 107: 44-47.
7. Hagh F, Zeighami H, Monazami A, Toutouchi F, Nazaralian S, Naderi G. Diversity of virulence genes in multidrug resistant *Pseudomonas aeruginosa* isolated from burn wound infections. *Microb Pathog* 2018; 115: 251-256.
8. Pournejaf A, Razavi S, Irajian G, Ardebili A, Erfani Y, Solgi S, et al. Integron types, antimicrobial resistance genes, virulence gene profile, alginate production and biofilm formation in Iranian cystic fibrosis *Pseudomonas aeruginosa* isolates. *Infez Med* 2018; 26(3): 226-236.
9. Derakhshan S, Hosseinzadeh A. Resistant *Pseudomonas aeruginosa* carrying virulence genes in hospitalized patients with urinary tract infection from Sanandaj, west of Iran. *Gene Reports* 2020; 20(1): 100675.
10. Bazghandi SA, Arzanlou M, Peeridogaheh H, Vaez H, Sahebkar A, Khademi F. Prevalence of Virulence Genes and Drug Resistance Profiles of *Pseudomonas aeruginosa* Isolated from Clinical Specimens. *Jundishapur Journal of Microbiology* 2021; 14(8): e118452.
11. Panic N, Leoncini E, De Belvis G, Ricciardi W, Boccia S. Evaluation of the endorsement of the preferred reporting items for systematic reviews and meta-analysis(PRISMA) statement on the quality of published systematic review and meta-analyses. *PloS One* 2013; 8(12): e83138.
12. Luchini C, Stubbs B, Solmi M, Veronese N. Assessing the quality of studies in meta-analyses: Advantages and limitations of the Newcastle Ottawa Scale. *World J Meta-Anal* 2017; 5(4): 80-84.
13. Gholami S, Tabatabaei M, Sohrabi N. Comparison of biofilm formation and antibiotic resistance pattern of *Pseudomonas aeruginosa* in human and environmental isolates. *Microb Pathog* 2017; 109: 94-98.
14. Taee SR, Khansarinejad B, Abtahi H,

- Najafimosleh M, Ghaznavi-Rad E. Detection of algD, oprL and exoA genes by new specific primers as an efficient, rapid and accurate procedure for direct diagnosis of *Pseudomonas aeruginosa* strains in clinical samples. *Jundishapur J Microbiol* 2014; 7(10): e13583.
15. Sharifi H, Pouladfar G, Shakibaie MR, Pourabbas B, Mardaneh J, Mansouri S. Prevalence of β -lactamase genes, class 1 integrons, major virulence factors and clonal relationships of multidrug-resistant *Pseudomonas aeruginosa* isolated from hospitalized patients in southeast of Iran. *Iran J Basic Med Sci* 2019; 22(7): 806-812.
16. Jahromi SIP, Mardaneh J, Sharifi A, Pezeshkpour V, Behzad-Behbahani A, Seyyedi N, et al. Occurrence of a multidrug resistant *Pseudomonas aeruginosa* strains in hospitalized patients in southwest of Iran: Characterization of resistance trends and virulence determinants. *Jundishapur J Microbiol* 2018; 11(4): e57341.
17. Heidary Z, Bandani E, Eftekhar M, Jafari AA. Virulence genes profile of multidrug resistant *Pseudomonas aeruginosa* isolated from Iranian children with UTIs. *Acta Med Iran* 2016; 54(3): 201-210.
18. Habibi A, Honarmand R. Profile of Virulence Factors in the multi-drug resistant *Pseudomonas aeruginosa* strains of human urinary tract infections(UTI). *Iran Red Crescent Med J* 2015; 17(12): e26095.
19. Ghadaksaz A, Fooladi AAI, Hosseini HM, Amin M. The prevalence of some *Pseudomonas* virulence genes related to biofilm formation and alginate production among clinical isolates. *J Appl Biomed* 2015; 13(1): 61-68.
20. Derakhshan S, Rezaee A, Mohammadi S. Relationship between type III secretion toxins, biofilm formation, and antibiotic resistance in clinical *Pseudomonas aeruginosa* isolates. *Russian Journal OF Infection AND Immunity* 2021; 11(6): 1075-1082.
21. Mokhtari K, Amini K. Identification of virulence genes in *Pseudomonas aeruginosa* isolated from human and animal samples by multiplex-PCR and their antibiotic resistance pattern. *Iran J Med Microbiol* 2019; 13(4): 294-301 (Persian).
22. Tahmasebi H, Dehbashi S, Alikhani MY, Porbaran M, Arabestani MR. Prevalence and molecular typing of Metallo- β -lactamase-producing *Pseudomonas aeruginosa* with adhesion factors: a descriptive analysis of burn wounds isolates from Iran. *Gene Reports* 2020; 21: 100853.
23. Dehbashi S, Pourmand MR, Alikhani MY, Asl SS, Arabestani MR. Coordination of las regulated virulence factors with Multidrug-Resistant and extensively drug-resistant in superbug strains of *P. aeruginosa*. *Mol Biol Rep* 2020; 47(6): 4131-4143.
24. Tahmasebi H, Dehbashi S, Nasaj M, Arabestani MR. Molecular epidemiology and collaboration of siderophore-based iron acquisition with surface adhesion in hypervirulent *Pseudomonas aeruginosa* isolates from wound infections. *Sci Rep* 2022; 12(1): 1-11.
25. Rahbar ZM, Noorbakhsh F, Honarmand JS. Assessment of virulence factors (elastase and phospholipase) and antibiotic susceptibility in *pseudomonas aeruginosa* isolated from clinical samples. *New Cellular and Molecular Biotechnology Journal* 2018; 29(8): 31-38 (Persian).
26. Tahmasebi H, Maleki F, Dehbashi S, Arabestani MR. Role and Function of KPC and MBL Enzymes in Increasing the Pathogenicity of *Pseudomonas Aeruginosa* Isolated from Burn Wounds. *J Babol Univ Med Sci* 2019; 21:

- 127-134 (Persian).
27. Gholami S, Tabatabaei M. The Prevalence of Virulence Factors in Human and Environmental Isolates of *Pseudomonas aeruginosa*. Avicenna Journal of Clinical Microbiology and Infection 2019; 6(1): 9-14 (Persian).